



UNIVERSIDAD TÉCNICA
FEDERICO SANTA MARÍA



Uso de XPINNs para Modelar el Potencial Eléctrico de Macromoléculas en un Medio Polarizable a Partir de la Ecuación de Poisson-Boltzmann

Martín Achondo Mercado

IPM-426

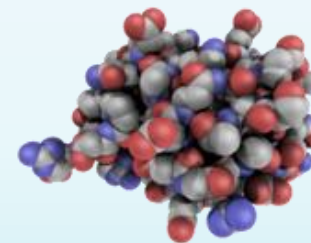
Prof. Guía: Dr. Christopher Cooper

28 de septiembre de 2023

Introducción y Objetivos

Se busca resolver la ecuación de Poisson-Boltzmann utilizando la tecnología de *Extended Physics Informed Neural Networks*.

- Programar una ANN que resuelva la PBE.
- Evaluar error y convergencia respecto a hiperparámetros.
- Verificar la validez del método para macromoléculas reales.
- Evaluar el uso del método al incorporar datos experimentales en la función de pérdida.



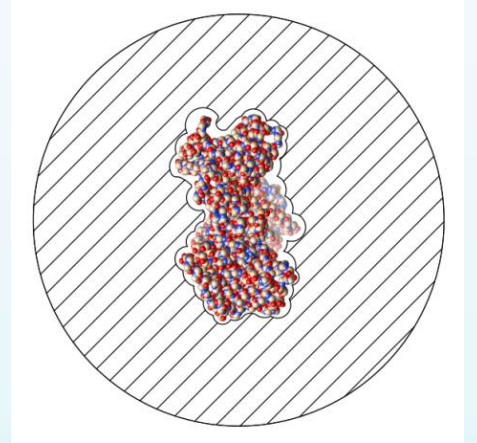
Motivación uso de PINNs en PBE



- Método nuevo.
- Fácil de implementar.
- Entrega solución relativamente rápido.
- Se pueden incluir datos experimentales (*effective near-surface potential*).
- Aplicable a problemas inversos, parámetros de PDE desconocidos.
- Facilidad para adaptar solución obtenida para otros escenarios (cargas On-OFF)
- Gran impacto:
 - Ámbito PINNs.
 - Electroestática molecular.

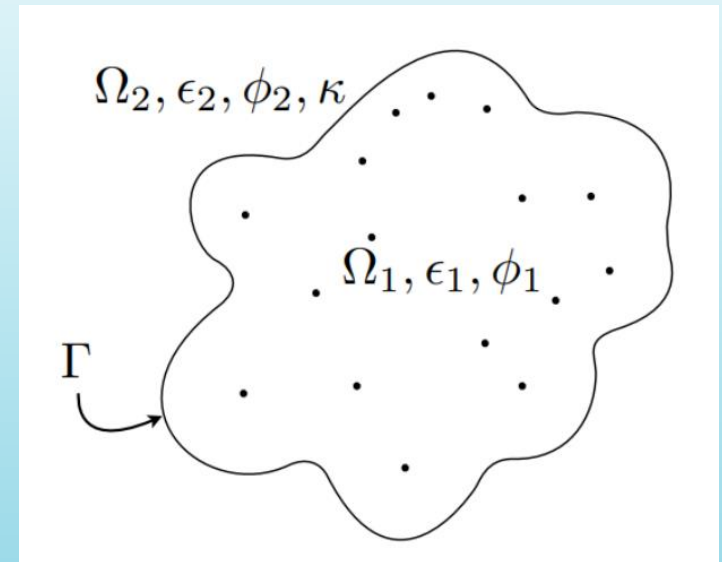
Ecuación de Poisson-Boltzmann

- Aplicada a macromoléculas en un medio polarizable.
- Se obtiene a partir del método de solvente implícito.



$$\begin{cases} \nabla^2 \phi_1 = -\frac{1}{\epsilon_1} \sum_k q_k \delta(\mathbf{x} - \mathbf{x}_k) & \mathbf{x} \in \Omega_1 \\ \nabla^2 \phi_2 = \frac{2c^\infty q_e}{\epsilon_2} \sinh\left(\frac{\phi_2 q_e}{k_b T}\right) & \mathbf{x} \in \Omega_2 \end{cases}$$

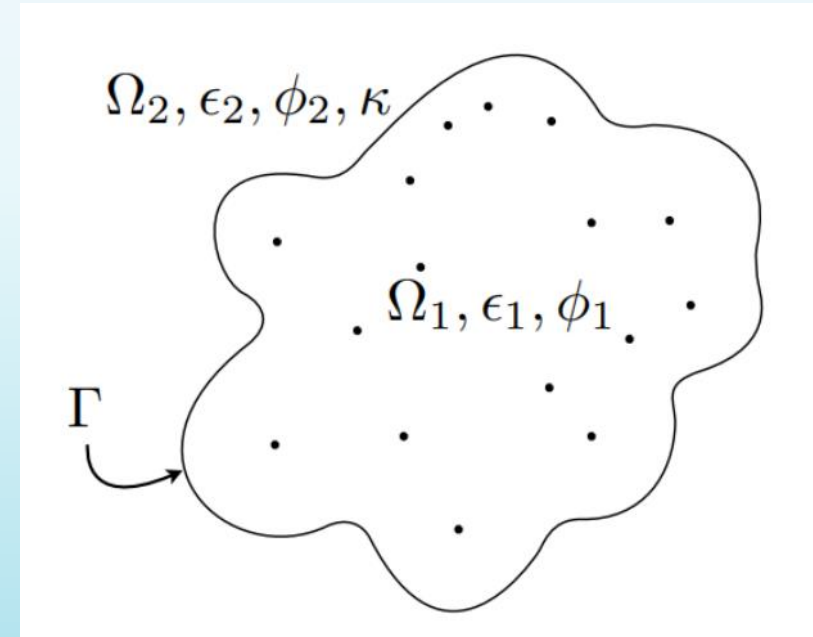
Linealizada: $\nabla^2 \phi_2 = \kappa^2 \phi_2$ $\kappa^2 = \frac{2c^\infty q_e^2}{\epsilon_2 k_b T}$



Ecuación de Poisson-Boltzmann

- Condiciones en la interfaz:

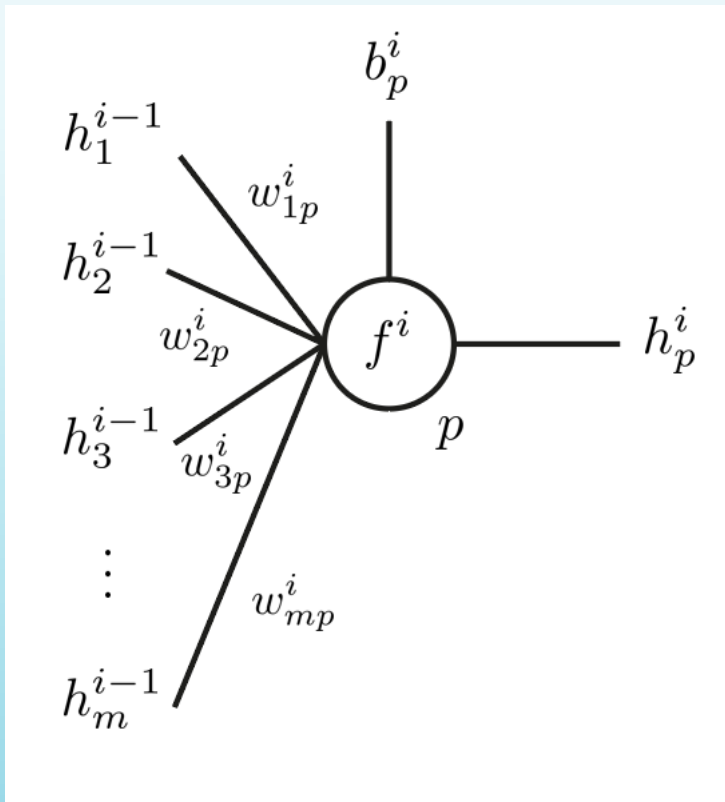
$$\begin{cases} \phi_1 = \phi_2 & \mathbf{x} \in \Gamma \\ \epsilon_1 \frac{\partial \phi_1}{\partial n} = \epsilon_2 \frac{\partial \phi_2}{\partial n} & \mathbf{x} \in \Gamma \end{cases}$$



Redes Neuronales Artificiales (ANN)

- Operaciones en cada perceptrón (neurona).
- Considerar perceptrón p de la capa i :

Tiene pesos en las conexiones w_{mp}^i , bias b_p^i , y función de activación f^i



$$h_p^i = f^i \left(\sum_{j=1}^m h_j^{i-1} w_{jp}^i + b_p^i \right)$$

Redes Neuronales Artificiales (ANN)

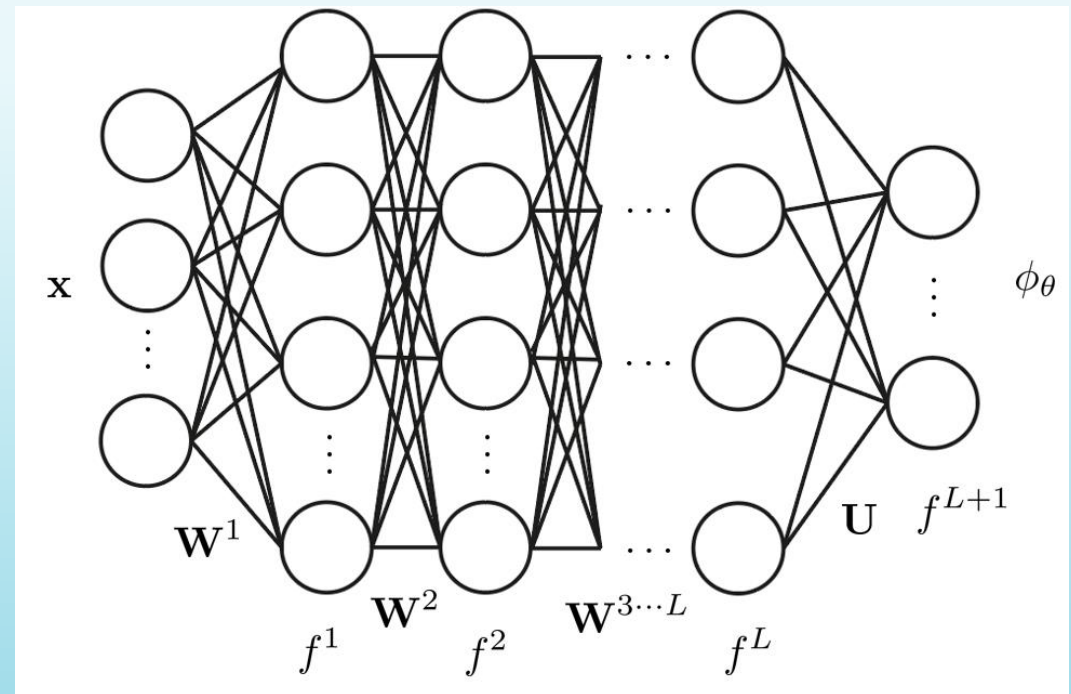
- Juntar varios perceptrones interconectados genera una ANN.

$$\phi_{\theta} = \mathcal{N}(\mathbf{x}; \theta)$$

- Existen distintas arquitecturas:
 - Fully Connected Neural Network
 - Residual Neural Network
 - Convolutional Neural Network

$$\begin{cases} \mathbf{h}^1 = f^1(\mathbf{x}\mathbf{W}^1 + \mathbf{b}^1) & i = 1 \text{ capa entrada} \\ \mathbf{h}^i = f^i(\mathbf{h}^{i-1}\mathbf{W}^i + \mathbf{b}^i) & 2 \leq i \leq L \text{ capas ocultas} \\ \phi_{\theta} = f^{L+1}(\mathbf{h}^L\mathbf{U} + \mathbf{c}) & i = L + 1 \text{ salida} \end{cases}$$

$$\theta = \{\mathbf{W}^1, \mathbf{b}^1, \dots, \mathbf{W}^L, \mathbf{b}^L, \mathbf{U}, \mathbf{c}\}$$



Redes Neuronales Artificiales (ANN)

- ¿Cómo se ajustan los parámetros de la ANN?
- Algoritmos de optimización basados en descenso de gradiente.

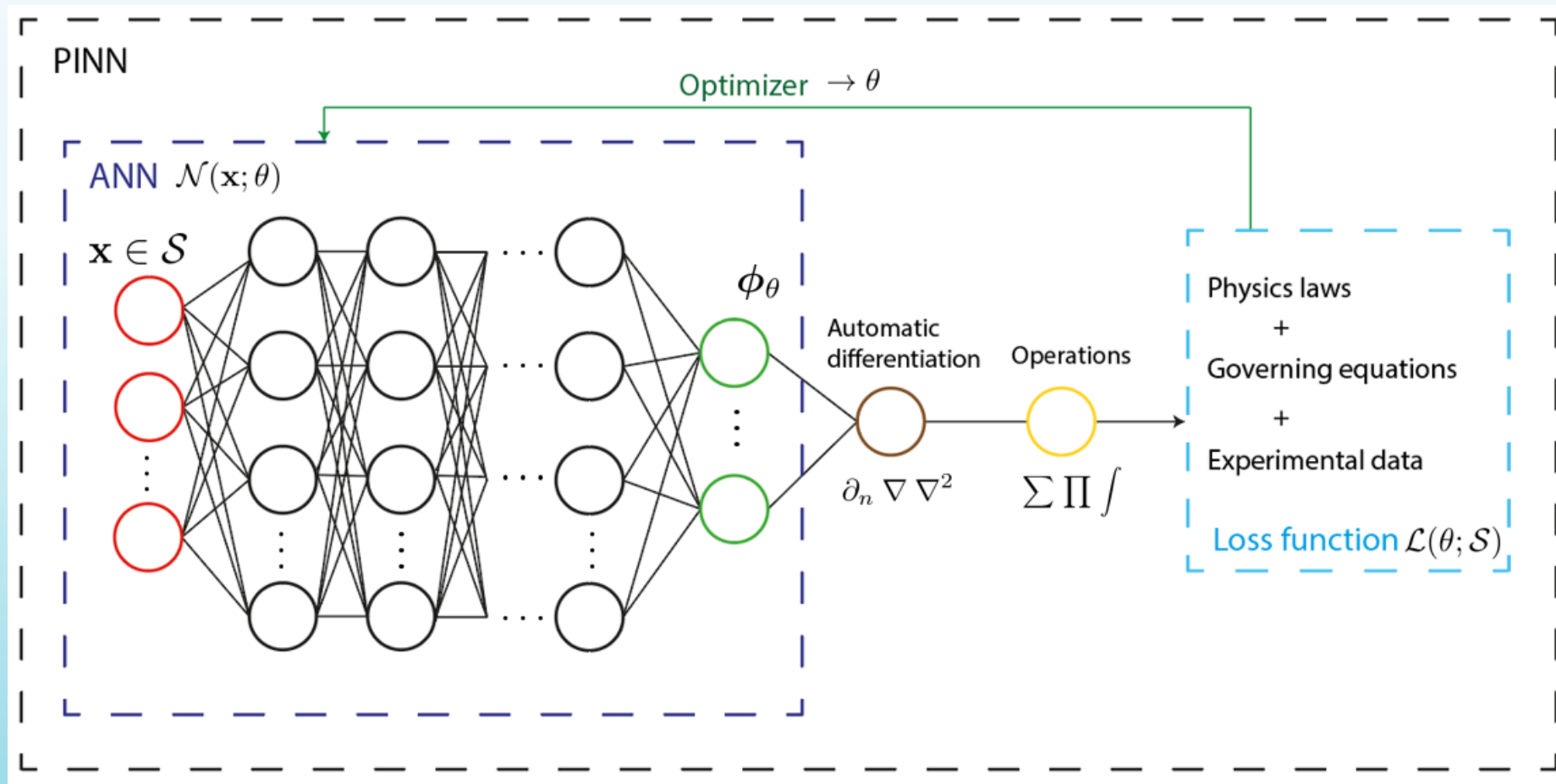
$$\theta^* = \underset{\theta}{\operatorname{argmin}} \mathcal{L}(\theta; \mathcal{S})$$

- Función de pérdida \mathcal{L} se evalúa en conjunto \mathcal{S} .
- Algoritmos: ADAM, L-BFGS + Métodos estocásticos.

$$\theta_{k+1} = \theta_k - \lambda \nabla_{\theta} \mathcal{L}(\theta_k; \mathcal{S}_j) \quad \mathcal{S}_j \subset \mathcal{S}$$

Physics Informed Neural Networks (PINNs)

- Se le agregan las leyes y ecuaciones físicas a la función de pérdida.



Tipos de PINNs

Se diferencian en la forma en que se resuelve la PDE:

- Deep Collocation Method (DCM): Utilizan los residuales en los puntos del dominio para formar la función de pérdida.
- Deep Variational Method (DVM): Utiliza la formulación variacional para formar la función de pérdida.
- Deep Boundary Integral Method (DBIM): Utiliza la formulación integral en la frontera para formar la función pérdida.

Tipos de PINNs

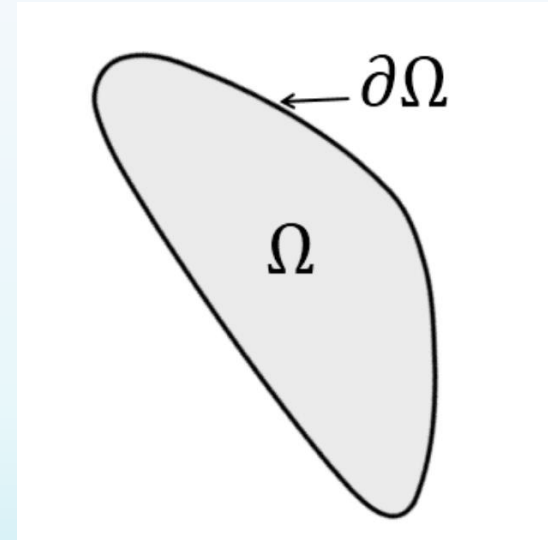
Se diferencian en la forma en que se resuelve la PDE:

- Deep Collocation Method (DCM): Utilizan los residuales en los puntos del dominio para formar la función de pérdida.
- Deep Variational Method (DVM): Utiliza la formulación variacional para formar la función de pérdida.
- Deep Boundary Integral Method (DBIM): Utiliza la formulación integral en la frontera para formar la función pérdida.

Ejemplo DCM

$$\begin{cases} \mathcal{D}\phi = f(\mathbf{x}) & \mathbf{x} \in \Omega \\ \mathcal{B}\phi = g(\mathbf{x}) & \mathbf{x} \in \partial\Omega \end{cases}$$

$$\phi \approx \phi_\theta = \mathcal{N}(\mathbf{x}; \theta)$$



$$\mathcal{L}(\theta; \mathcal{S}) = w_{pde} \mathcal{L}_{pde}(\theta; \mathcal{S}_{pde}) + w_{bc} \mathcal{L}_{bc}(\theta; \mathcal{S}_{bc}) + w_{data} \mathcal{L}_{data}(\theta; \mathcal{S}_{data})$$

Ejemplo DCM

$$\mathcal{L}(\theta; \mathcal{S}) = w_{pde} \mathcal{L}_{pde}(\theta; \mathcal{S}_{pde}) + w_{bc} \mathcal{L}_{bc}(\theta; \mathcal{S}_{bc}) + w_{data} \mathcal{L}_{data}(\theta; \mathcal{S}_{data})$$

$$\mathcal{L}_{pde}(\theta; \mathcal{S}_{pde}) = \frac{1}{N_{pde}} \sum_{x_i \in \mathcal{S}_{pde}} \left[\mathcal{D}\phi_{\theta}(x_i) - f(x_i) \right]^2$$

$$\mathcal{L}_{bc}(\theta; \mathcal{S}_{bc}) = \frac{1}{N_{bc}} \sum_{x_i \in \mathcal{S}_{bc}} \left[\mathcal{B}\phi_{\theta}(x_i) - g(x_i) \right]^2$$

$$\mathcal{L}_{data}(\theta; \mathcal{S}_{data}) = \frac{1}{N_{data}} \sum_{x_i \in \mathcal{S}_{data}} \left[\mathcal{A}\phi_{\theta}(x_i) - \mathcal{A}\phi_{data}(x_i) \right]^2$$

Múltiples Dominios

- Se utiliza una ANN para cada dominio (XPINNs):

$$\phi \approx \phi_{\theta} = \begin{cases} \mathcal{N}_1(\mathbf{x}; \theta^1) & \mathbf{x} \in \Omega_1 \\ \mathcal{N}_2(\mathbf{x}; \theta^2) & \mathbf{x} \in \Omega_2 \end{cases}$$

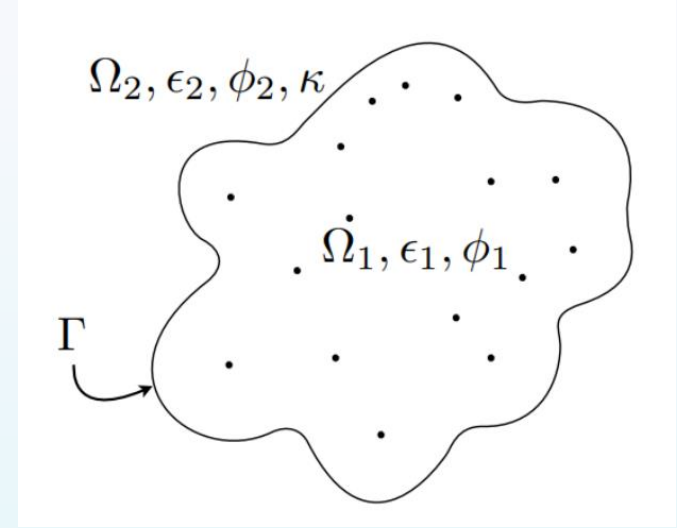
- Para NN j :

$$\mathcal{L}^j = w_{bc} \mathcal{L}_{bc}^j + w_{pde} \mathcal{L}_{pde}^j + w_{data} \mathcal{L}_{data}^j + w_I \mathcal{L}_I^j$$

$$\mathcal{L}_I^j(\theta; \mathcal{S}_I) = \frac{1}{N_I} \sum_{x_i \in \mathcal{S}_I} \left[\mathcal{C}_1 \phi_{\theta}^j(x_i) - \overline{\mathcal{C}} \phi_{\theta}(x_i) \right]^2$$

DCM Aplicado a PBE

$$\phi \approx \phi_\theta = \begin{cases} \mathcal{N}_1(\mathbf{x}; \theta^1) & \mathbf{x} \in \Omega_1 \\ \mathcal{N}_2(\mathbf{x}; \theta^2) & \mathbf{x} \in \Omega_2 \end{cases}$$



- Residuales:

$$\mathcal{L}_{pde}^1(\mathcal{S}_{pde}) = \frac{1}{N_{pde}} \sum_{x_i \in \mathcal{S}_{pde}} \left[\nabla^2 \phi_\theta^1(x_i) + \frac{1}{\epsilon_1} \sum_k q_k \delta(x_i - x_k) \right]^2$$

$$\mathcal{L}_{pde}^2(\mathcal{S}_{pde}) = \frac{1}{N_{pde}} \sum_{x_i \in \mathcal{S}_{pde}} \left[\nabla^2 \phi_\theta^2(x_i) - \kappa^2 \phi_\theta^2(x_i) \right]^2$$

DCM Aplicado a PBE

- Condición de borde:

$$\mathcal{L}_{bc}^2(\mathcal{S}_{bc}) = \frac{1}{N_{bc}} \sum_{x_i \in \mathcal{S}_{bc}} \left[\phi_{\theta}^2(x_i) - \frac{1}{4\pi\epsilon_2} \sum_k \frac{q_k e^{-\kappa|x_i - x_k|}}{|x_i - x_k|} \right]^2$$

- Interfaz (red j):

$$\mathcal{L}_I^j(\mathcal{S}_I) = \frac{1}{N_I} \sum_{x_i \in \mathcal{S}_I} \left[\phi_{\theta}^j(x_i) - \overline{\phi_{\theta}}(x_i) \right]^2 + \frac{1}{N_I} \sum_{x_i \in \mathcal{S}_I} \left[\epsilon_j \partial_n \phi_{\theta}^j(x_i) - \overline{\epsilon \partial_n \phi_{\theta}}(x_i) \right]^2$$

Datos experimentales

- Solución conocida (software PyGBe) (red j):

$$\mathcal{L}_{data}^j(\mathcal{S}_{data}) = \frac{1}{N_{data}} \sum_{x_i \in \mathcal{S}_{data}} \left[\phi_{\theta}^j(x_i) - \phi_{\theta}^*(x_i) \right]^2$$

- Datos experimentales (effective near-surface potential)

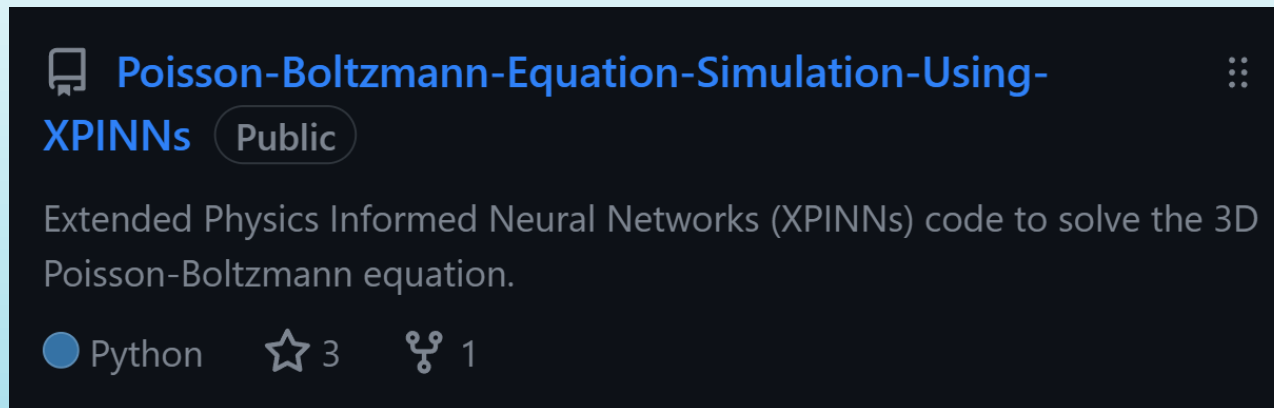
Para cada átomo de hidrógeno h :

$$\phi_{ENS,\theta}(x_h) = \frac{-k_b T}{2q_e} \ln \left(\frac{\sum_{x_i \in \mathcal{S}_E} |x_i - x_h|^{-6} e^{-\frac{q_e \phi_{\theta}(x_i)}{k_b T}}}{\sum_{x_i \in \mathcal{S}_E} |x_i - x_h|^{-6} e^{\frac{q_e \phi_{\theta}(x_i)}{k_b T}}} \right)$$

$$\mathcal{L}_E(\mathcal{S}_H) = \frac{1}{N_H} \sum_{x_h \in \mathcal{S}_H} \left[\phi_{ENS,\theta}(x_h) - \phi_{ENS}(x_h) \right]^2$$

Avances

- Se tiene un código (elaboración propia) en Python y Tensorflow para resolver la ecuación de Poisson-Boltzmann usando XPINNs.
- Actualmente adaptado solo con DCM.
- Link Github: <https://github.com/MartinAchondo/Poisson-Boltzmann-Equation-Simulation-Using-XPINNs>

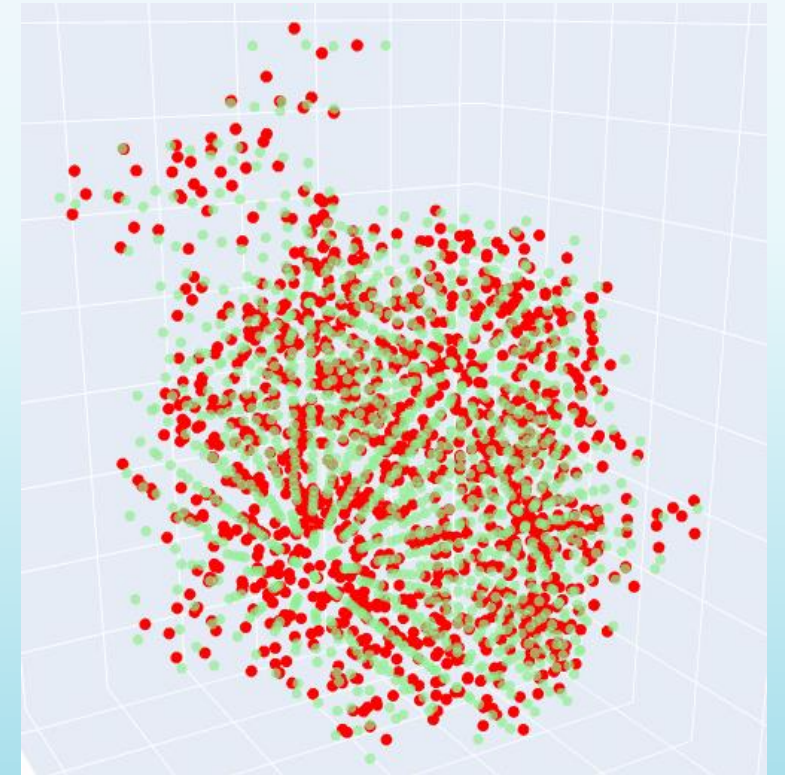
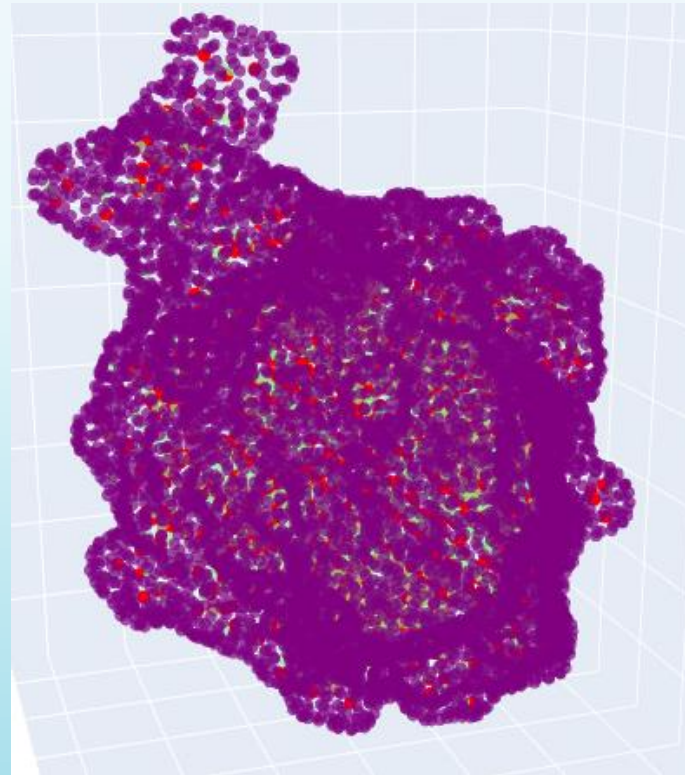
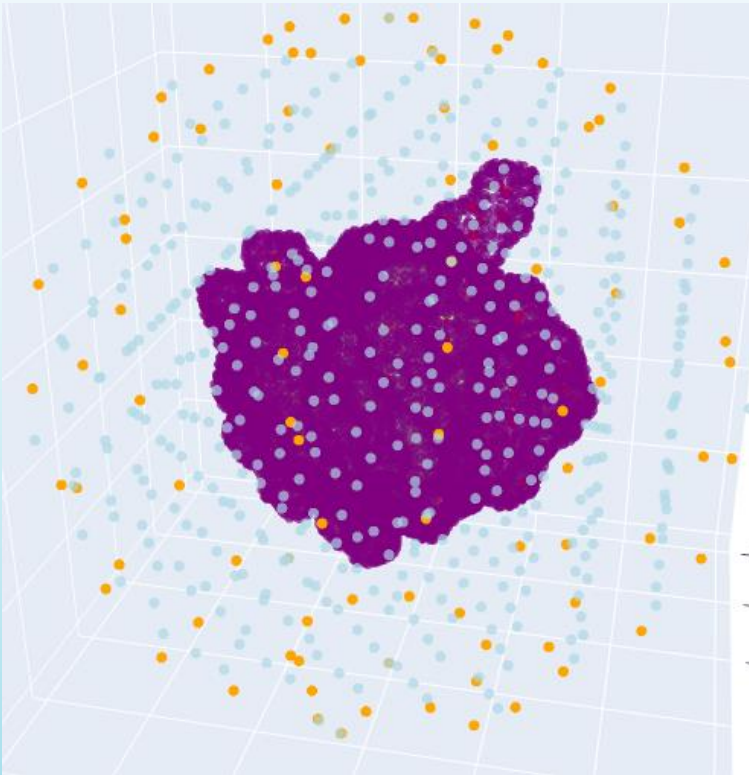


Código

- El código lee información estructural de una molécula.
- Entrega el potencial electroestático en todo el dominio.
- Hiperparámetros, arquitecturas y optimizador modificables.
- Tiene preconditionamiento y ponderación de las funciones de pérdidas.
- Tiene la posibilidad de añadir datos experimentales.

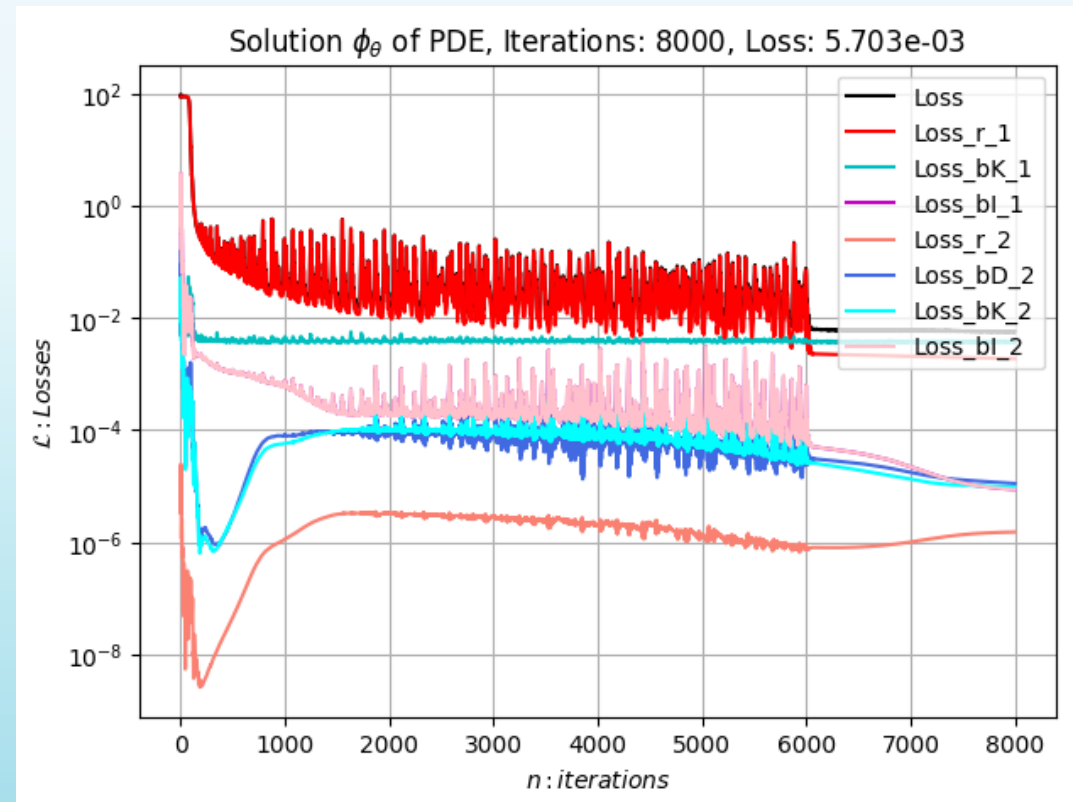
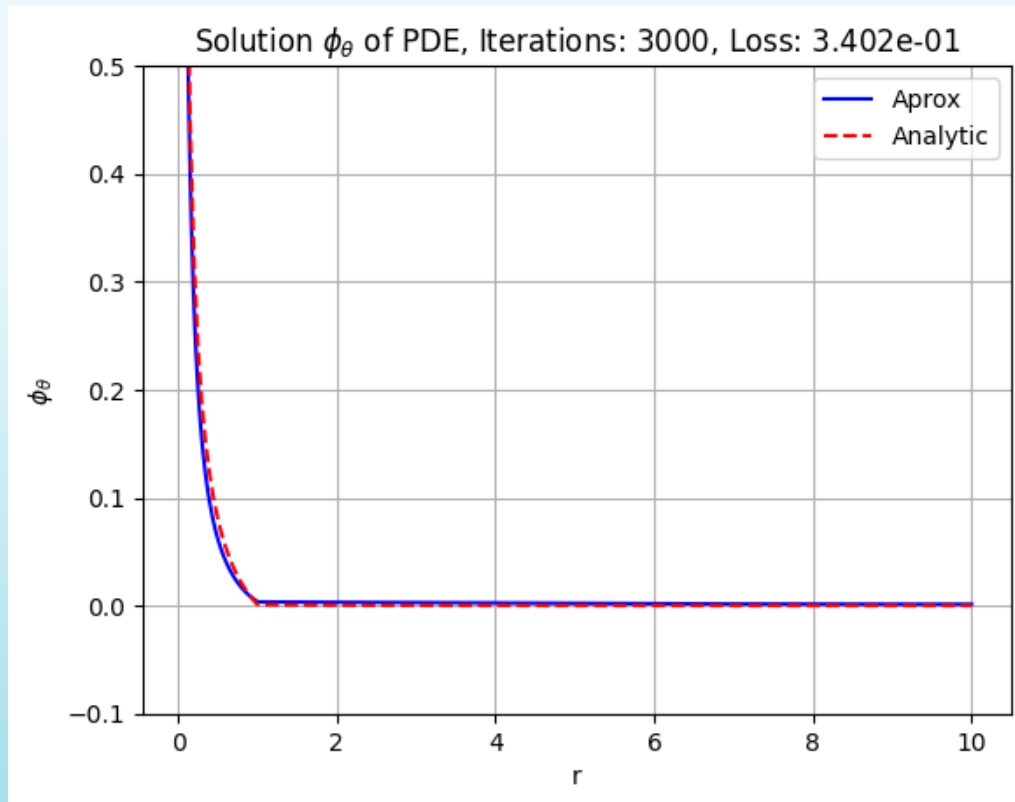
Código

- Ejemplo de puntos de colocación: Ubiquitina



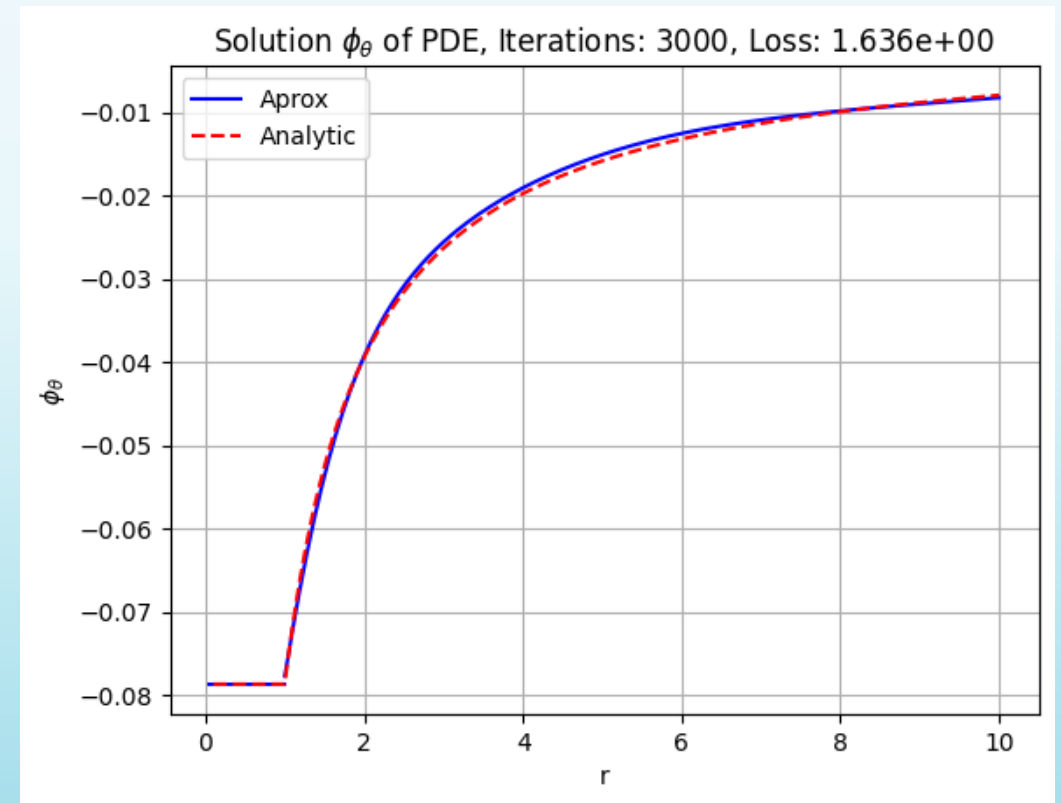
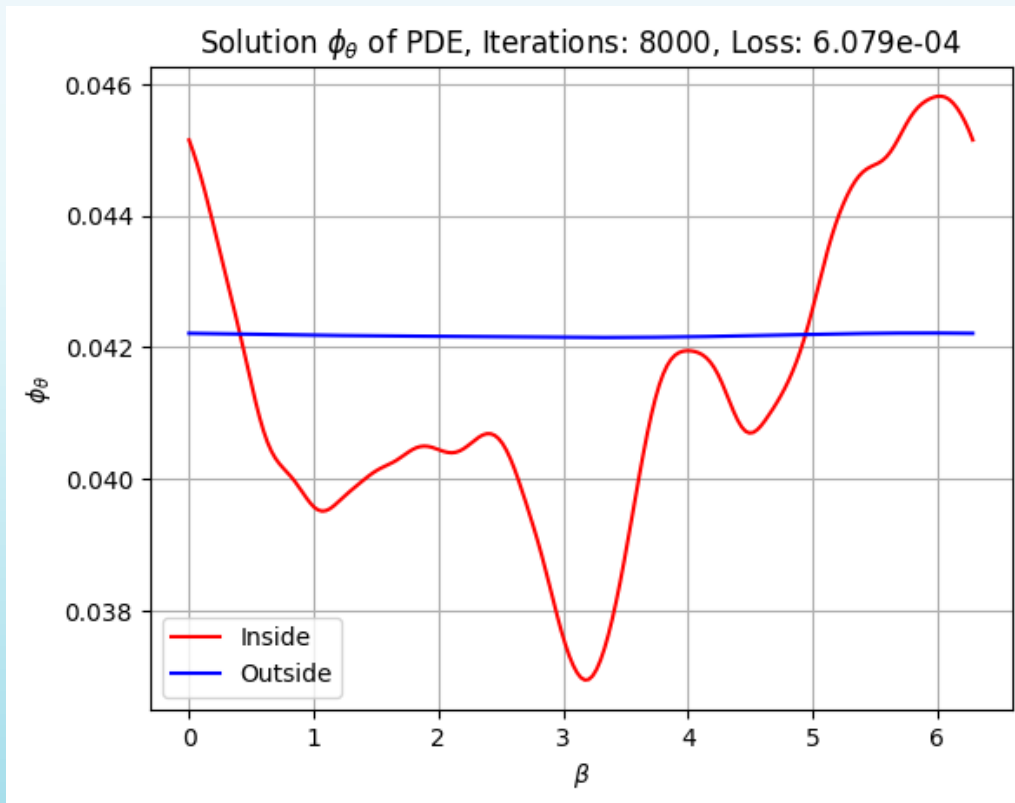
Resultados Preliminares

- Molécula esférica con carga puntual en el centro (Validación):



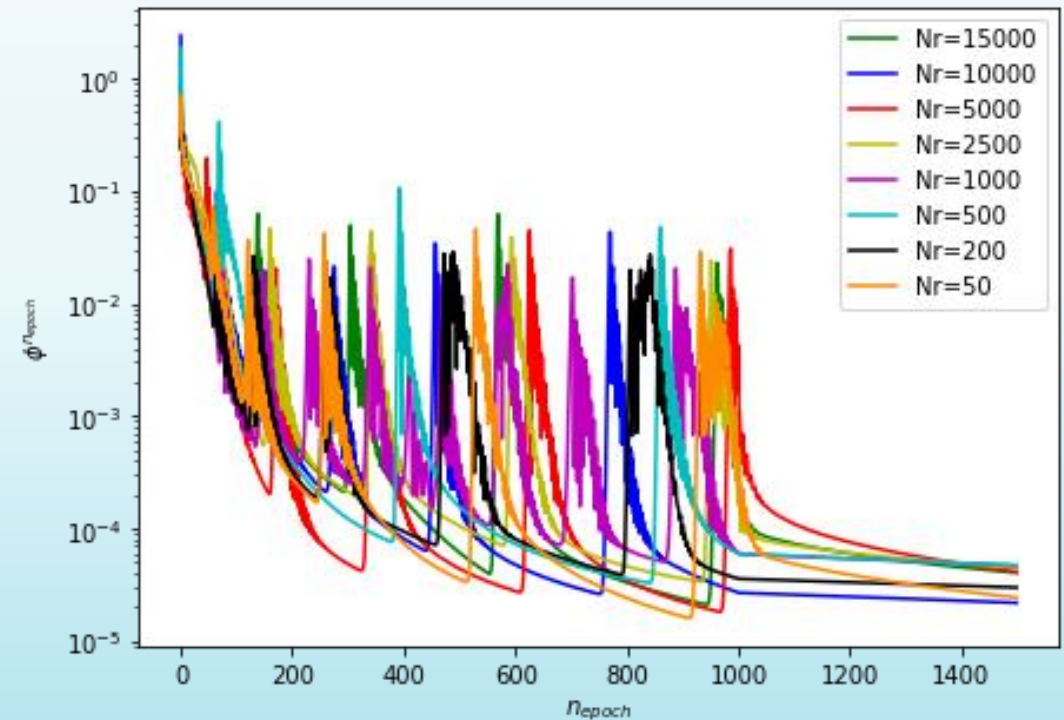
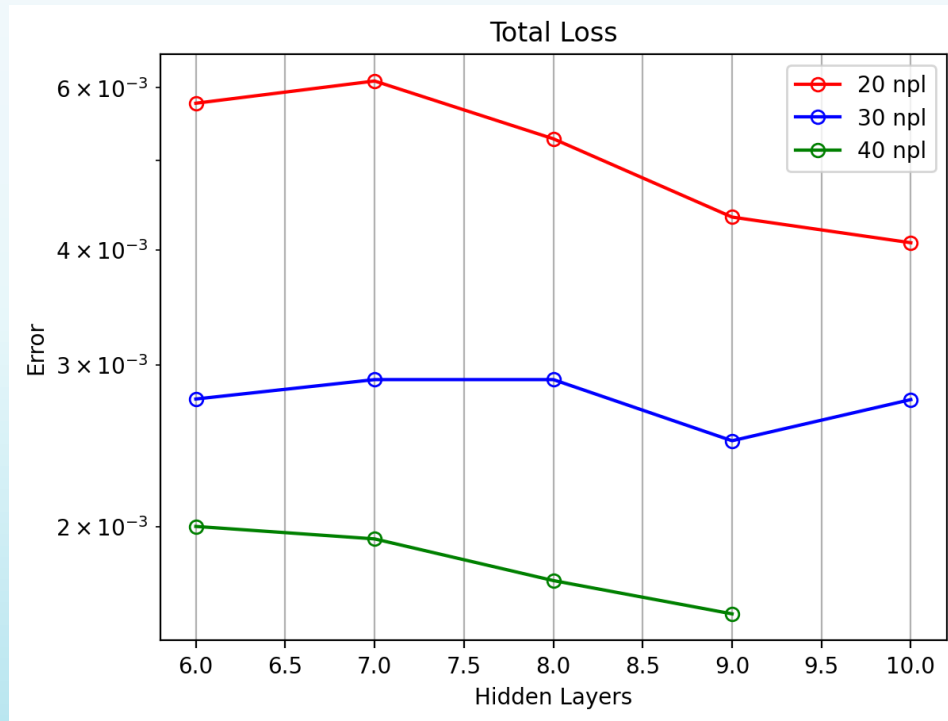
Resultados Preliminares

- Molécula esférica con carga puntual en el centro (Validación):



Resultados Preliminares

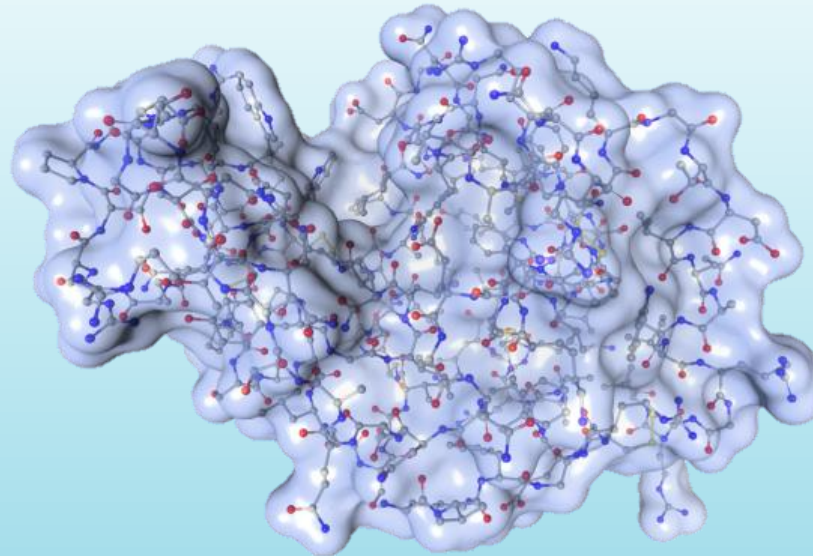
- Molécula esférica con carga puntual en el centro (Caso 2D) Ec. Poisson:



- Se ha notado que caso 3D es bastante más complejo que 2D.
- No son extrapolable.

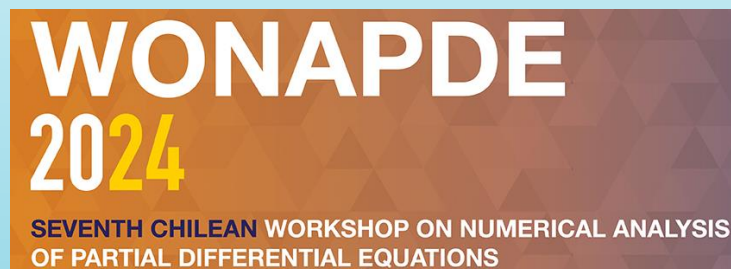
Próximos Desafíos

- Programar método DBIM (código base ya está hecho).
- Correr códigos (DCM y DBIM) para varias moléculas !!



Conclusiones

- Hay avance y se han obtenido los resultados esperados (casos simples).
- Falta trabajo por hacer.
- Se espera poder tener resultados con moléculas reales para enero (inscrito en conferencia WONAPDE).
- Se espera para la misma fecha tener resultados publicables.



Referencias

- 1) Baker, N. A. (2004). Poisson--Boltzmann methods for biomolecular electrostatics. *Methods in enzymology*, 383, 94--118. Elsevier.
- 2) Fogolari, F., Brigo, A., & Molinari, H. (2002). The Poisson--Boltzmann equation for biomolecular electrostatics: a tool for structural biology. *Journal of Molecular Recognition*, 15(6), 377--392. Wiley Online Library.
- 3) Yoon, B. J., & Lenhoff, A. M. (1990). A boundary element method for molecular electrostatics with electrolyte effects. *Journal of Computational Chemistry*, 11(9), 1080--1086. Wiley Online Library.
- 4) Lee, A., Geng, W., & Zhao, S. (2021). Regularization methods for the Poisson-Boltzmann equation: comparison and accuracy recovery. *Journal of Computational Physics*, 426, 109958. Elsevier.
- 5) Roux, B., & Simonson, T. (1999). Implicit solvent models. *Biophysical chemistry*, 78(1-2), 1--20. Elsevier.
- 6) Kellogg, O. D. (1953). *Foundations of potential theory*. Courier Corporation.
- 7) Karniadakis, G. E., Kevrekidis, I. G., Lu, L., Perdikaris, P., Wang, S., & Yang, L. (2021). Physics-informed machine learning. *Nature Reviews Physics*, 3(6), 422--440. Nature Publishing Group UK London.
- 8) Raissi, M., Perdikaris, P., & Karniadakis, G. E. (2019). Physics-informed neural networks: A deep learning framework for solving forward and inverse problems involving nonlinear partial differential equations. *Journal of Computational physics*, 378, 686--707. Elsevier.
- 9) Kharazmi, E., Zhang, Z., & Karniadakis, G. E. (2019). Variational physics-informed neural networks for solving partial differential equations. *arXiv preprint arXiv:1912.00873*.
- 10) Cai, S., Mao, Z., Wang, Z., Yin, M., & Karniadakis, G. E. (2021). Physics-informed neural networks (PINNs) for fluid mechanics: A review. *Acta Mechanica Sinica*, 37(12), 1727--1738. Springer.

Referencias

- 11) Wang, S., Sankaran, S., Wang, H., & Perdikaris, P. (2023). An Expert's Guide to Training Physics-informed Neural Networks. arXiv preprint arXiv:2308.08468.
- 12) Sun, Y., Sun, Q., & Qin, K. (2021). Physics-Based Deep Learning for Flow Problems. *Energies*, 14(22), 7760. MDPI.
- 13) Krishnapriyan, A., Gholami, A., Zhe, S., Kirby, R., & Mahoney, M. W. (2021). Characterizing possible failure modes in physics-informed neural networks. *Advances in Neural Information Processing Systems*, 34, 26548--26560.
- 14) Cuomo, S., Di Cola, V. S., Giampaolo, F., Rozza, G., Raissi, M., & Piccialli, F. (2022). Scientific machine learning through physics--informed neural networks: Where we are and what's next. *Journal of Scientific Computing*, 92(3), 88. Springer.
- 15) Shin, Y., Darbon, J., & Karniadakis, G. E. (2020). On the convergence of physics informed neural networks for linear second-order elliptic and parabolic type PDEs. arXiv preprint arXiv:2004.01806.
- 16) Wu, S., Zhu, A., Tang, Y., & Lu, B. (2022). On convergence of neural network methods for solving elliptic interface problems. arXiv preprint arXiv:2203.03407.
- 17) Teng, Y., Zhang, X., Wang, Z., & Ju, L. (2022). Learning green's functions of linear reaction-diffusion equations with application to fast numerical solver. In *Mathematical and Scientific Machine Learning* (pp. 1--16). PMLR.
- 18) Li, S., & Feng, X. (2022). Dynamic Weight Strategy of Physics-Informed Neural Networks for the 2D Navier--Stokes Equations. *Entropy*, 24(9), 1254. MDPI.
- 19) Mills, E., & Pozdnyakov, A. (2022). Stochastic Scaling in Loss Functions for Physics-Informed Neural Networks. arXiv preprint arXiv:2208.03776.
- 20) Hu, Z., Jagtap, A. D., Karniadakis, G. E., & Kawaguchi, K. (2021). When do extended physics-informed neural networks (XPINNs) improve generalization? arXiv preprint arXiv:2109.09444.

Referencias

- 21) Jagtap, A. D., & Karniadakis, G. E. (2021). Extended Physics-informed Neural Networks (XPINNs): A Generalized Space-Time Domain Decomposition based Deep Learning Framework for Nonlinear Partial Differential Equations. In AAAI spring symposium: MLPS (Vol. 10).
- 22) Sun, J., Liu, Y., Wang, Y., Yao, Z., & Zheng, X. (2023). BINN: A deep learning approach for computational mechanics problems based on boundary integral equations. *Computer Methods in Applied Mechanics and Engineering*, 410, 116012. Elsevier.
- 23) Lin, G., Hu, P., Chen, F., Chen, X., Chen, J., Wang, J., & Shi, Z. (2021). BINet: learning to solve partial differential equations with boundary integral networks. *arXiv preprint arXiv:2110.00352*.
- 24) LeCun, Y., Bengio, Y., & Hinton, G. (2015). Deep learning. *Nature*, 521(7553), 436--444. Nature Publishing Group UK London.
- 25) Hornik, K., Stinchcombe, M., & White, H. (1990). Universal approximation of an unknown mapping and its derivatives using multilayer feedforward networks. *Neural networks*, 3(5), 551--560. Elsevier.
- 26) He, K., Zhang, X., Ren, S., & Sun, J. (2016). Deep residual learning for image recognition. *Proceedings of the IEEE conference on computer vision and pattern recognition*, 770--778.
- 27) Jagtap, A. D., Kharazmi, E., & Karniadakis, G. E. (2020). Conservative physics-informed neural networks on discrete domains for conservation laws: Applications to forward and inverse problems. *Computer Methods in Applied Mechanics and Engineering*, 365, 113028. Elsevier.
- 28) Yu, B., Pletka, C. C., Pettitt, B. M., & Iwahara, J. (2021). De novo determination of near-surface electrostatic potentials by NMR. *Proceedings of the National Academy of Sciences*, 118(25), e2104020118. National Acad Sciences.
- 29) Developers, TensorFlow. TensorFlow. Zenodo, 2022.
- 30) Martín Achondo. Poisson-Boltzmann-Equation-Simulation-Using-XPINNs. 2023. [En línea]. Disponible en: <https://github.com/MartinAchondo/Poisson-Boltzmann-Equation-Simulation-Using-XPINNs>.

Uso de XPINNs para Modelar el Potencial Eléctrico de Macromoléculas en un Medio Polarizable a Partir de la Ecuación de Poisson-Boltzmann

Martín Achondo Mercado

IPM-426

Prof. Guía: Dr. Christopher Cooper

28 de septiembre de 2023

Otros posibles términos: Función de pérdida

- Datos experimentales (energía libre de solvatación):

$$\mathcal{L}_{solv} = \left| \frac{1}{2} \sum_k q_k (\phi_\theta - \phi_{coulomb})(x_k) - G_{solv,exp} \right|^2$$

- Leyes Físicas (Ley de Gauss)

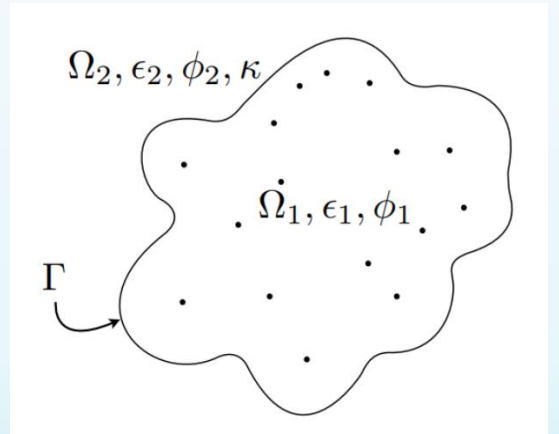
$$\mathcal{L}_{Gauss} = \left| \oint_{\Gamma} \epsilon_1 \partial_n \phi_\theta(x') \, dS(x') - \sum_k q_k \right|^2$$

Formulación Integral

- Utiliza las identidades de Green (forma lineal PBE):

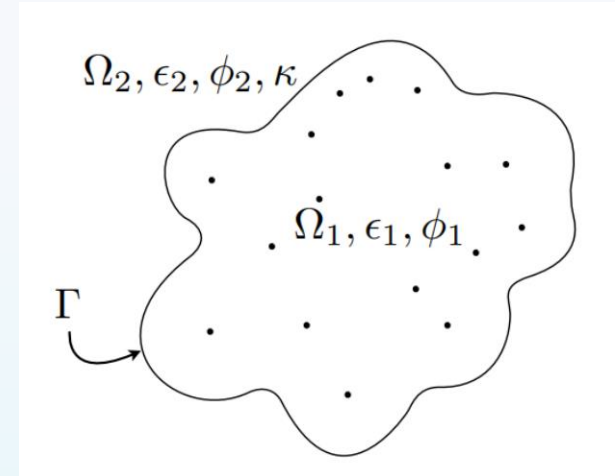
$$\begin{aligned} \phi_1(\mathbf{x}^s) = & \frac{1}{2\pi\epsilon_1} \sum_k \frac{q_k}{|\mathbf{x}^s - \mathbf{x}_k|} + \frac{1}{2\pi} \oint_{\Gamma} \frac{\partial\phi_1}{\partial n} \frac{1}{|\mathbf{x}^s - \mathbf{x}'|} dS(\mathbf{x}') \\ & - \frac{1}{2\pi} \oint_{\Gamma} \phi_1 \frac{\partial}{\partial n} \left(\frac{1}{|\mathbf{x}^s - \mathbf{x}'|} \right) dS(\mathbf{x}') \end{aligned}$$

$$\begin{aligned} \phi_2(\mathbf{x}^s) = & -\frac{1}{2\pi} \oint_{\Gamma} \frac{\partial\phi_2}{\partial n} \frac{\exp(-\kappa|\mathbf{x}^s - \mathbf{x}'|)}{|\mathbf{x}^s - \mathbf{x}'|} dS(\mathbf{x}') \\ & + \frac{1}{2\pi} \oint_{\Gamma} \phi_2 \frac{\partial}{\partial n} \left(\frac{\exp(-\kappa|\mathbf{x}^s - \mathbf{x}'|)}{|\mathbf{x}^s - \mathbf{x}'|} \right) dS(\mathbf{x}') \end{aligned}$$



DBIM Aplicado a PBE

$$\phi_{\theta}^1 = \mathcal{N}(\mathbf{x}; \theta) \quad \mathbf{x} \in \Gamma$$



- La ANN es entrenada con la formulación integral en la interfaz.
- La función de pérdida se descompone en 2 términos.

$$\mathcal{L}(\theta; \mathcal{S}) = w_1 \mathcal{L}_1(\theta; \mathcal{S}_b) + w_2 \mathcal{L}_2(\theta; \mathcal{S}_b)$$

- Se necesita un método de cuadratura (librería Bempp).

DBIM Aplicado a PBE

$$\mathcal{L}_1(\theta; \mathcal{S}_b) = \frac{1}{N_b} \sum_{x_i \in \mathcal{S}_b} \left[\phi_\theta^1(x_i) - \frac{1}{2\pi\epsilon_1} \sum_k \frac{q_k}{|x_i - x_k|} - \frac{1}{2\pi} \oint_\Gamma \frac{\partial \phi_\theta^1}{\partial n}(x') \frac{1}{|x_i - x'|} dS(x') \right. \\ \left. + \frac{1}{2\pi} \oint_\Gamma \phi_\theta^1(x') \frac{\partial}{\partial n} \left(\frac{1}{|x_i - x'|} \right) dS(x') \right]^2$$

$$\mathcal{L}_2(\theta; \mathcal{S}_b) = \frac{1}{N_b} \sum_{x_i \in \mathcal{S}_b} \left[\phi_\theta^1(x_i) + \frac{1}{2\pi} \frac{\epsilon_1}{\epsilon_2} \oint_\Gamma \frac{\partial \phi_\theta^1}{\partial n}(x') \frac{\exp(-\kappa|x_i - x'|)}{|x_i - x'|} dS(x') \right. \\ \left. - \frac{1}{2\pi} \oint_\Gamma \phi_\theta^1 \frac{\partial}{\partial n} (x') \left(\frac{\exp(-\kappa|x_i - x'|)}{|x_i - x'|} \right) dS(x') \right]^2$$

Algoritmos

- DCM y DBIM:

Algoritmo 1 Resolver PBE con DCM

Input: Loss functions \mathcal{L} , Points \mathcal{S} , Hyperparameters

Initialize $\theta_0^1, \mathcal{N}_1, \theta_0^2, \mathcal{N}_2$

for $k = 1$ to $k = n$ **do**

 Calculate $\phi_\theta^1, \phi_\theta^2$ with $\mathcal{N}_1, \theta_k^1, \mathcal{N}_2, \theta_k^2$

 Calculate $\partial_n \phi_\theta^1, \partial_n \phi_\theta^2$ with AD

 Calculate $\mathcal{D}_1 \phi_\theta^1, \mathcal{D}_2 \phi_\theta^2$ with AD

 Calculate \mathcal{L}^1

 Calculate \mathcal{L}^2

 Update θ_{k+1}^1 with ADAM($\theta_k^1, \nabla \mathcal{L}^1$)

 Update θ_{k+1}^2 with ADAM($\theta_k^2, \nabla \mathcal{L}^2$)

end for

Output: Parameters θ^1, θ^2

Algoritmo 2 Resolver PBE con DBIM

Input: Loss function \mathcal{L} , Points \mathcal{S} , Hyperparameters

Initialize θ_0, \mathcal{N}

for $k = 1$ to $k = n$ **do**

 Calculate $\phi_\theta^1 = \mathcal{N}(\mathbf{x}; \theta_k)$

 Calculate $\partial_n \phi_\theta^1$ with AD

 Calculate boundary integrals with quadrature

 Calculate \mathcal{L}

 Update θ_{k+1} with ADAM($\theta_k, \nabla \mathcal{L}$)

end for

Output: Parameters θ

Preacondicionamiento

- Se preacondiciona conjunto de parámetros θ :

$$\mathcal{L}_{pre}(\theta; \mathcal{S}) = \frac{1}{N} \sum_{x_i \in \mathcal{S}} [\phi_{\theta}(x_i) - \phi_*(x_i)]^2$$

Algoritmo 5 Resolver PDE con DCM preacondicionado

Input: Loss functions \mathcal{L} and \mathcal{L}_{pre} , Points \mathcal{S} , Hyperparameters

Initialize θ_0, \mathcal{N}

for $k = 1$ to $k = n_{pre}$ **do**

 Calculate $\phi_{\theta} = \mathcal{N}(\mathbf{x}; \theta_k)$

 Calculate \mathcal{L}_{pre}

 Update θ_{k+1} with ADAM($\theta_k, \nabla \mathcal{L}$)

end for

for $k = n_{pre} + 1$ to $k = n$ **do**

 Calculate $\phi_{\theta} = \mathcal{N}(\mathbf{x}; \theta_k)$

 Calculate \mathcal{L} with PINN

 Update θ_{k+1} with ADAM($\theta_k, \nabla \mathcal{L}$)

end for

Output: Parameters θ

Ajuste de pesos para funciones de pérdida

- Se busca que todos los términos ponderen de igual forma para modificar los parámetros θ .

$$\hat{w}_k = \frac{\sum_j \|\nabla_{\theta} \mathcal{L}_j\|}{\|\nabla_{\theta} \mathcal{L}_k\|}$$

$$w_{k,\text{new}} = \alpha w_{k,\text{old}} + (1 - \alpha) \hat{w}_k$$

- No se realiza todas las iteraciones, cada 1000 o 2000 funciona bien.

Uso de XPINNs para Modelar el Potencial Eléctrico de Macromoléculas en un Medio Polarizable a Partir de la Ecuación de Poisson-Boltzmann

Martín Achondo Mercado

IPM-426

Prof. Guía: Dr. Christopher Cooper

28 de septiembre de 2023